

โครงสร้างของผลิตภัณฑ์พอลิเมอร์เพื่อวัสดุไฟฟ้า



นาย ปราโมทย์ ฉลุศิลป์

วิทยานิพนธ์นี้เป็นส่วนหนึ่งของการศึกษิตตามหลักสูตรปริญญาวิทยาศาสตรมหาบัณฑิต

แผนกวิชาฟิสิกส์

บัณฑิตวิทยาลัย จุฬาลงกรณ์มหาวิทยาลัย

พ.ศ. ๒๕๑๘

001649

I16500428

THE CRYSTAL STRUCTURE OF TANTALUM FERROUS PHOSPHIDE

Mr. Pramode Chalugune

A Thesis Submitted in Partial Fulfillment of the Requirements

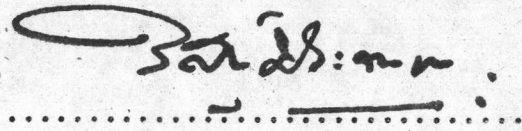
for the Degree of Master of Science

Department of Physics

Chulalongkorn University

1976

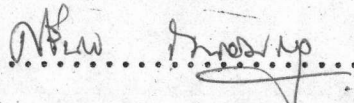
บัณฑิตวิทยาลัย จุฬาลงกรณ์มหาวิทยาลัย อนุมัติให้นับวิทยานิพนธ์ฉบับนี้ เป็นส่วนหนึ่ง  
ของการศึกษาตามหลักสูตรปริญญาโทบัณฑิต

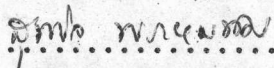



(ศาสตราจารย์ ดร.วิศิษฐ์ ประจวบเหมาะ)


คณบดี

คณะกรรมการตรวจวิทยานิพนธ์

 ประธานกรรมการ  
(ผู้ช่วยศาสตราจารย์ ดร.ศรินทร์ดา ถนอมกุล)

 กรรมการ  
(ผู้ช่วยศาสตราจารย์ สุพนิช พรหมทัต)

 กรรมการ  
(ผู้ช่วยศาสตราจารย์ ดร.พิชานะ ภาชนะนันท)

 กรรมการ  
(นายณรงค์ สุขพัฒน์ธี)



อาจารย์ผู้ควบคุมการวิจัย : ผู้ช่วยศาสตราจารย์ สุพนิช พรหมทัต

ลิขสิทธิ์ของบัณฑิตวิทยาลัย

จุฬาลงกรณ์มหาวิทยาลัย

วิทยานิพนธ์เรื่อง โครงสร้างของผลึกทานทาลัมเพอร์สฟอสไฟด์

โดย นาย ปราโมทย์ ฉลุกำลป์

แผนกวิชา ฟิสิกส์



หัวข้อวิทยานิพนธ์      โครงสร้างของผลึกทานทาลัมเฟอรัสฟอสไฟด์  
ชื่อ                              นายปราโมทย์ ฉลุกล้า                      แผนกวิชาฟิสิกส์  
ปีการศึกษา                      ๒๕๑๔

### บทคัดย่อ

โครงสร้างของผลึก TaFeP หาโดยวิธีผลึกเดี่ยวรังสีเอกซ์ ใช้ข้อมูลการเลี้ยวเบน  
บันทึกด้วยกล้องนอนเนียสไวซเซนเบอร์เกอร์ รังสีโมลิบดีนัมเคแอลฟา (Mo K $\alpha$ - radiation)  
รวบรวมข้อมูลความเข้มที่วัดด้วยตา ปรากฏว่าโครงสร้างของผลึกอยู่ในระบบออร์โธรมบิก หมู่  
สมมาตร 3 มิติเป็น Pnma มีค่ามิติของเซลล์  $a = 6.099$ ,  $b = 3.574$ ,  $c = 6.976$  อังสตรอม  
ค่าความหนาแน่น  $D_x = 11.68$ ,  $D_m = 11.2 \pm 0.4$  กรัมต่อลูกบาศก์เซนติเมตร ที่อุณหภูมิ  
34 องศาเซลเซียสและ  $Z = 4$  อะตอมทั้งหมดอยู่ที่ตำแหน่งพิเศษ 4c

การคำนวณเพื่อหาโครงสร้างใช้วิธีของแพทเตอร์สันและอนุกรมฟูเรียร์ สำหรับการปรับ  
ค่าอย่างละเอียดของตำแหน่งอะตอมและค่าพารามิเตอร์  $B_{iso}$  ใช้วิธีลีส-สแควร์ เมทริกครบถ้วน  
(full-matrix least-squares method) ให้ค่า  $R = 10.04\%$  สำหรับ 130 จุดสะท้อนจาก  
การวัด พบว่าผลึกมีโครงสร้างเป็นแบบ anti-PbCl $_2$  (C 23) โดยมีค่าตัวเลขโคออดิเนชัน  
ของ Ta, Fe และ P เป็น 15, 12 และ 9 ตามลำดับ

อะตอมข้างเคียงของ Ta จัดตัวเป็นลักษณะรูปปริซึมห้าเหลี่ยมที่บิดไปเล็กน้อยและมีอะตอม  
อีก 1 อะตอม ยื่นออกมาจากกลางหน้าทั้งห้าแต่ละหน้าของปริซึมห้าเหลี่ยมนี้

ส่วนอะตอมข้างเคียงของ Fe และ P มีการจัดตัวในทำนองเดียวกับอะตอมข้างเคียงของ  
Ta โดยเป็นรูปปริซึมสี่เหลี่ยมและสามเหลี่ยมที่บิดไปเล็กน้อยตามลำดับ

Thesis Title        The Crystal Structure of Tantalum Ferrous Phosphide  
Name                Mr.Pramode Chalugune        Department of Physics  
Academic Year      1976

#### ABSTRACT

The crystal structure of TaFeP has been determined by X-ray single crystal methods with use of visually-estimated diffraction data recorded with Mo K<sub>α</sub> radiation by a Nonius Weissenberg camera. The crystal belongs to orthorhombic system, space group Pnma, with cell dimensions  $a = 6.099$ ,  $b = 3.574$ ,  $c = 6.976 \text{ \AA}$ ,  $D_x = 11.68$ ,  $D_m = 11.2 \pm 0.4 \text{ gm.cm}^{-3}$  at  $34^\circ \text{C}$ ,  $Z = 4$ . All atoms are at special  $4c$  positions.

The structure was solved by Patterson and Fourier methods. The atomic positions and isotropic parameters were refined by full-matrix least-squares method, yielding a final R value of 10.04 % for 130 observed reflections. The structure was anti-PbCl<sub>2</sub> (C 23) - type, with the coordination numbers of Ta, Fe and P as 15, 12 and 9 respectively.

The neighbour atoms configuration of Ta atom is a slightly distorted pentagonal prism with one extra atom beyond the center of each vertical face of this pentagonal prism.

For the neighbour atoms of Fe and P atoms, their arrangements are similar to that of the Ta neighbour atoms in respect of the slightly distorted tetragonal and trigonal prisms.

## กิติกรรมประกาศ

วิทยานิพนธ์นี้สำเร็จลงด้วยความกรุณาของ ผศ.สุพจน์ พรหมทัต ซึ่งเป็นอาจารย์ที่ปรึกษา  
ที่ได้กรุณาให้คำแนะนำช่วยเหลือ และควบคุมการวิจัยอย่างใกล้ชิดตลอดมา จึงขอกราบขอบพระคุณ  
ไว้ ณ ที่นี้

ผู้เขียนขอกราบขอบพระคุณ ผศ.ดร.พัฒน ภาวนันท์ ผศ.ดร.ศรินทร์ ถนอมกุล  
อาจารย์ศจี โฉมนิลพันธ์ ที่กรุณาให้คำแนะนำช่วยเหลือเกี่ยวกับการวิจัยครั้งนี้ ขอกราบขอบพระคุณ  
ศจ.รุนต์วิสิทธิ์และ ศจ.สิมิงกา แห่งสถาบันเคมี มหาวิทยาลัยอุพขาลา ประเทศสวีเดน ที่กรุณา  
ให้ผลึกของสารประกอบและโปรแกรมคอมพิวเตอร์ที่ใช้ในการวิจัยครั้งนี้

นอกจากนี้ขอขอบคุณเจ้าหน้าที่ของศูนย์คอมพิวเตอร์ จุฬาลงกรณ์มหาวิทยาลัย และบริษัท  
บางกอกดาตาเซนเตอร์ จำกัด ราชตฤณมัยสมาคมที่ให้ความสะดวกในการจัดเตรียมโปรแกรม  
และการคำนวณ



สารบัญ

	หน้า
บทคัดย่อ .....	ง
กิตติกรรมประกาศ .....	ฉ
รายการตารางประกอบ .....	ฅ
รายการรูปประกอบ .....	ฉ
<b>บทที่</b>	
1. บทนำ .....	1
2. การหาโครงสร้างของผลึกโดยอาศัยอะตอมหนัก .....	7
2.1 แพคเตอร์โครงสร้าง .....	9
2.2 ฟังก์ชันแพทเตอร์สัน .....	19
2.2.1 ฟังก์ชันแพทเตอร์สันใน 1 มิติ .....	19
2.2.2 ฟังก์ชันแพทเตอร์สันใน 2 มิติ .....	24
2.2.3 ฟังก์ชันแพทเตอร์สันใน 3 มิติ .....	26
2.3 แผนที่แพทเตอร์สัน .....	28
2.4 พิกแพทเตอร์สัน .....	35
2.5 เวกเตอร์ฮาร์เกอร์และเซคชันฮาร์กเกอร์ .....	46
2.6 การสังเคราะห์ฟูเรียร์ .....	55
2.6.1 การสังเคราะห์ $F_0$ .....	57
2.6.2 การสังเคราะห์ $\Delta F$ .....	64
3. การทดลองและการวิเคราะห์หาโครงสร้างของผลึก .....	74
3.1 ข้อมูลที่ได้จากผลึก .....	74
3.1.1 มิติของเซลล์ .....	76
3.1.2 หมู่สมมาตร 3 มิติ .....	97

	หน้า
3.1.3 ความหนาแน่นของผลึก ... ..	98
3.1.4 จำนวนหน่วยสูตรต่อหนึ่งหน่วยเซลล์ ... ..	98
3.2 การรวบรวมข้อมูลความเข้มจากภาพถ่ายไวซเซนเบอร์ก ... ..	99
3.3 โปรแกรมคอมพิวเตอร์ที่ใช้คำนวณหาโครงสร้างของผลึก ... ..	.102
3.4 การวิเคราะห์หาโครงสร้างและการปรับค่าเบื้องต้น ... ..	106
3.5 การคำนวณปรับค่าพารามิเตอร์อย่างละเอียด ... ..	.120
3.6 โครงสร้างของผลึกทานทาลัมเพอร์สฟอสไฟด์ ... ..	.131
3.6.1 ค่าโคออดิเนตของอะตอม ... ..	.131
3.6.2 ระยะบอนด์และมุม ... ..	.133
4. สรุปและอภิปรายผล ... ..	136
บรรณานุกรม ... ..	154
ประวัติการศึกษา ... ..	.156



## รายการตารางประกอบ

ตาราง		หน้า
1.1	แสดงสารประกอบสัมพันธ์ของสารประกอบทานทาลัม เพอร์สฟอสไฟด์ ... ..	5
2.1(ก)	แสดงหมู่สมมาตร 3 มิติในเซลล์แพทเตอร์สัน ... .. .	33
2.1(ข)	แสดงฟังก์ชันแพทเตอร์สันของเซลล์แพทเตอร์สันในระบบออร์โธโรมบิก ... .	34
2.2	เปรียบเทียบตำแหน่งอะตอมในผลึกกับฟังก์ชันแพทเตอร์สัน ... .. .	45
2.3	แสดงเวกเตอร์สมมาตรและเวกเตอร์อสมมาตร ... .. .	47
2.4	แสดงเซกชันฮาร์กเกอร์สำหรับสมมาตรแต่ละแบบของผลึก ... .. .	49
2.5	แสดงเส้นฮาร์กเกอร์ ... .. .	50
2.6	แสดงค่า $B_{h1}$ และ $B'_{h1}$ ... .. .	53
2.7	แสดงการหาค่า $B_1$ ในการคำนวณเส้นฮาร์กเกอร์ขนานกับแกน b ... ..	54
2.8	แสดงตำแหน่งของอะตอมเมื่อจะใช้วิธีของบูธ ... .. .	60
2.9	แสดงค่า $r$ และ $x_m$ ที่ใช้ในการเลื่อนตำแหน่งอะตอม ... .. .	62
2.10(ก)	ค่าความหนาแน่นอิเล็กตรอนที่ได้จากการคำนวณ ... .. .	63
2.10(ข)	แสดงค่าของ $\rho_1, \rho_2$ เพื่อใช้ในการคำนวณ ... .. .	63
3.1	หาค่า b จากภาพถ่ายแบบการหมุนใช้ $[010]$ เป็นแกนหมุน ... .. .	81
3.2	หาค่า c จากภาพถ่ายแบบการหมุนใช้ $[001]$ เป็นแกนหมุน ... .. .	81
3.3	ค่าต่าง ๆ ที่ใช้ในการถ่ายภาพไวซเซนเบอร์ก ... .. .	84
3.4	แสดงมิติของเซลล์ ... .. .	89
3.5	แสดงจุดสะท้อนที่ได้จากการถ่ายภาพแบบไวซเซนเบอร์ก ... .. .	93-96
3.6	แสดงเงื่อนไขของจุดสะท้อนที่ปรากฏบนระนาบโครงผลึกส่วนกลับ ... ..	97
3.7	แสดงข้อมูลจุดสะท้อนที่ใช้ในการคำนวณหาโครงสร้างที่เก็บไว้ใน magnetic tape เป็นข้อมูลคำนวณติดต่อกัน ... .. .	104
3.8	ค่าแก้การดูดกลืนรังสีของผลึก TaFeP เมื่อ $\mu_r = 0.53$ ... .. .	107

ตาราง	หน้า
3.9	แสดงค่าโคออดิเนตของตำแหน่งฮิคริวาเลนท์ของหมู่สมมาตร 3 มิติ Prma... 108
3.10	แสดงเวกเตอร์ฮาร์กเกอร์ที่ตำแหน่งพิเศษ 4c ... .. 109
3.11	แสดงค่าความสูงของพีคจากการคำนวณเทียบกับพีคที่จุดกำเนิด ... .. 112
3.12	ความสูงของพีคของคอนทิวร์ที่นำมาพิจารณาหาตำแหน่งของอะตอม ... .. 113
3.13	ค่าโคออดิเนตของอะตอมในเซลล์ผลึกที่น่าจะถูกต้อง ... .. 114
3.14	แสดงตำแหน่งของอะตอมในแผนที่การสังเคราะห์ $F_0$ ... .. 119
3.15	แสดงตำแหน่งของอะตอมเมื่อใช้วิธีของบูธ ... .. 119
3.16	ค่าพารามิเตอร์ที่ได้จากการคำนวณชั้นที่ 3 ... .. 120
3.17	ค่าพารามิเตอร์ที่ได้จากการคำนวณโดยใช้โปรแกรม LSQRl ชั้นที่ 1 ... . 122
3.18	ค่าพารามิเตอร์ที่ได้จากการใช้โปรแกรม LSQRl คำนวณในชั้นที่ 2 ... .. 123
3.19(ก)	แสดงค่าพารามิเตอร์ต่าง ๆ ที่ได้ในขั้นสุดท้ายของการคำนวณ ... .. 124
3.19(ข)	แสดง $ F_0 $ และ $ F_c $ ของจุดสะท้อนทั้งหมด ... .. 125-127
3.20	แสดงตำแหน่งของอะตอมทั้ง 12 ตำแหน่งซึ่งอยู่ในหนึ่งหน่วยเซลล์ ... .. 131
3.21	แสดงระยะบอนด์ระหว่างอะตอม ... .. 133-134
4.1(ก)	แสดงค่าโคออดิเนตของรูป 4.3(ก) ... .. 139
4.1(ข)	แสดงค่าโคออดิเนตของรูป 4.3(ข) ... .. 140
4.1(ค)	แสดงค่าโคออดิเนตของรูป 4.3(ค) ... .. 141
4.2(ก)	แสดงระยะบอนด์ของอะตอมที่ล้อมรอบอะตอม Ta ... .. 142
4.2(ข)	แสดงระยะบอนด์ของอะตอมที่ล้อมรอบอะตอม Fe ... .. 143
4.2(ค)	แสดงระยะบอนด์ของอะตอมที่ล้อมรอบของอะตอม P ... .. 144
4.3(ก)	แสดงค่ามุมระหว่างอะตอมที่ล้อมรอบอะตอม Ta ในรูป 4.3 ก) ... .. 145-146
4.3(ข)	แสดงค่ามุมระหว่างอะตอมที่ล้อมรอบอะตอม Fe ในรูป 4.3(ข) ... .. 147
4.3(ค)	แสดงค่ามุมระหว่างอะตอมที่ล้อมรอบอะตอม P ในรูป 4.3(ค) ... .. 148
4.4	เปรียบเทียบค่าโคออดิเนตและมิติของเซลล์ของผลึก TaFeP, Co <sub>2</sub> P และ ZrFeP ... .. 152

## รายการรูปประกอบ

รูป	หน้า
2.1	แสดงการหาค่าแตกต่างเฟส ... .. 10
2.2	แสดงการหาค่าอำพันของแฟคเตอร์โครงสร้าง ... .. 11
2.3	แสดงการหาค่าแฟคเตอร์โปลาไรเซชัน ... .. 16
2.4	แสดงช่วงเวลาเวลาที่จุดสะท้อน hkl ผ่านทรงกลมของการสะท้อน ... .. 18
2.5	แสดงความหมายของสมการ (2.44) ... .. 20
2.6	แสดงกฎของฟรีเดิล ... .. 23
2.7(ก)	แสดงแผนที่ความหนาแน่นอิเล็กตรอนใน 1 มิติ ... .. 30
2.7(ข)	แสดงแผนที่แพทเทิร์นใน 1 มิติ ... .. 30
2.7(ค)	แสดงแผนที่แพทเทิร์นใน 1 มิติ เมื่อขจัดพิกที่จุดกำเนิดแล้ว ... .. 32
2.8(ก)	แสดงค่าสูงสุดของความหนาแน่นอิเล็กตรอนหรือตำแหน่งอะตอม ... .. 36
2.8(ข)	แสดงตำแหน่งสูงสุดของพิกแพทเทิร์น ... .. 36
2.9(ก)	แสดงเวกเตอร์ในเซลล์ผลึกระหว่างอะตอม p และอะตอม q ... .. 37
2.9(ข)	แสดงเวกเตอร์ในเซลล์แพทเทิร์น ... .. 38
2.10	แสดงน้ำหนักของพิกและความสูงของพิก ... .. 41
2.11(ก)	แสดงพิกความหนาแน่นอิเล็กตรอน ... .. 42
2.11(ข)	แสดงพิกแพทเทิร์น ... .. 42
2.12	แสดงแผนที่โดยการฉายเฉพาะบริเวณ ... .. 59
2.13	แสดงค่าความหนาแน่นอิเล็กตรอนที่ตำแหน่งอะตอม ... .. 61
2.14(ก)	แสดง $ F_c(hkl)  \gg  F_o(hkl) $ และ $d_c \neq d_o$ ... .. 66
2.14(ข)	แสดง $ F_c(hkl)  \gg  F_o(hkl) $ และค่า $d_o = d_c$ ... .. 66
2.14(ค)	แสดงเวกเตอร์ลัทพ์ของ $\Delta \vec{F} = -\vec{F}_c + \vec{F}_o$ ... .. 67
2.15(ก)	แสดงความผิดพลาดเนื่องจากตำแหน่งอะตอมด้วย เซกชันแบบเส้น ... .. 69



รูป	หน้า
2.15(ข) แสดงความผิดพลาดเนื่องจากตำแหน่งอะตอมด้วยคอนทัวร์ ... .. .	70
2.16(ก) แสดงผลที่เกิดจากค่า B เมื่อ B มีค่ามากไป ... .. .	71
2.16(ข) แสดงผลที่เกิดจากค่า B เมื่อ B มีค่าน้อยไป ... .. .	71
2.17(ก) แสดงค่า B ของ $\rho_o$ แบบสมลัทธิ ... .. .	72
2.17(ข) แสดงค่า B ของ $\rho_c$ แบบสมลัทธิ ... .. .	72
2.17(ค) แสดงค่า $\rho_o - \rho_c$ ... .. .	72
2.18(ก) กรณิศ่า B น้อยไป ... .. .	73
2.18(ข) กรณิศ่า B มากไป ... .. .	73
3.1(ก) แสดงรูปร่างของผลึกเดี่ยวทานทาลัม เฟอรัสฟอสไฟด์ ... .. .	75
3.1(ข) แสดงโครงผลึกของทานทาลัม เฟอรัสฟอสไฟด์ ... .. .	75
3.2 แสดงผลึกเดี่ยวติดอยู่บนใยแก้ว ... .. .	76
3.3 แสดงผลึกเดี่ยวติดอยู่บนหัวโกนิโอมิเตอร์ ... .. .	76
3.4(ก) แสดงรูปกรวยของการเลี้ยวเบนรังสีเอ็กซ์ตัดกับฟิล์มทรงกระบอกซึ่งมีแกนร่วมกัน ที่แกนหมุนของผลึก ... .. .	78
3.4(ข) แสดงค่าโคออดิเนตทรงกระบอกของโครงผลึกส่วนกลับ ... .. .	78
3.5 แสดงภาพถ่ายแบบการหมุน ของผลึก ... .. .	80
3.6 แสดงการถ่ายภาพแลย์เออร์ที่ n ของการถ่ายภาพแบบไวซเซนเบอร์ก ... .. .	83
3.7 ภาพถ่ายแบบไวซเซนเบอร์ก ... .. .	87-88
3.8 แสดงจุดสะท้อนบนระนาบโครงผลึกส่วนกลับ ... .. .	91-92
3.9 แสดงสเกลความเข้มมาตรฐาน ... .. .	100
3.10 แสดงแฟคเตอร์ที่ใช้สำหรับแก้ความเข้ม เนื่องจากการแยกของจุดสะท้อน ... .. .	101
3.11 แสดงแผนที่ของเชกซ์แพทเตอร์สัน ... .. .	110
3.12 แสดงแผนที่ความหนาแน่นอิเล็กตรอนจากการสังเคราะห์ $F_o$ ... .. .	117-118

รูป	หน้า
3.13	แสดงแผนที่ความหนาแน่นอิเล็กตรอนจากการสังเคราะห์ $F_0$ โดยการฉายลงตามแนวแกน $[010]$ ของผลึก TaFeP ... .. 129
3.14	แสดงแผนที่การสังเคราะห์ $\Delta F$ โดยการฉายลงตามแนวแกน $[010]$ ของผลึก TaFeP ... .. 130
3.15	แสดงตำแหน่งอะตอมของ TaFeP ใน 4 หน่วยเซลล์ที่ฉายลงตามแนวแกน $[010]$ 132
3.16	แสดงแบบจำลองของผลึก TaFeP ... .. 135
4.1	แสดงตำแหน่งอะตอมของผลึก TaFeP ฉายลงตามแนวแกน $[010]$ ... .. 137
4.2	แสดงตำแหน่งอะตอมของผลึก $PbCl_2$ ฉายลงตามแนวแกน $[001]$ ... .. 137
4.3(ก)	แสดงอะตอมข้างเดียวของอะตอม Ta ... .. 139
4.3(ข)	แสดงอะตอมข้างเคียงของอะตอม Fe ... .. 140
4.3(ค)	แสดงอะตอมข้างเคียงของอะตอม P ... .. 141
4.4	แสดงโครงสร้างของผลึก TaFeP, $Co_2P$ และ $Co_2Si$ ... .. 150
4.5	แสดงตัวเลขโคออดิเนชันรอบอะตอม P ของผลึก TaFeP และ $Co_2P$ ... .. 151